

# حفظ از لوله‌ی مدفون با استفاده از کیسه‌ی خاک

امیرفرهنگ احمدیان (دانشجوی دکتری)

سیدناصر مقدس تفوشی<sup>\*</sup> (استاد)

دانشکده‌ی هنдрی عمران، دانشگاه علومی خواجه نصیرالدین طوسی

مهندسی عمران شریف، (ایران ۱۴۰۳)، شماره ۳، صص. ۱۱۳-۱۱۶، پژوهشی  
دوری ۴۰، شماره ۳، صص. ۱۱۳-۱۱۶، (پژوهشی)

امروزه استفاده از ژوستیک‌ها جهت تسليح توده‌ی خاک روی لوله‌ها، تحت بارهای استاتیکی و تکاری در حال توسعه است. در این میان، کیسه‌های خاک بهدلیل عملکرد محدود کنندگی توده‌ی خاک در داخل خود، علاوه‌بر مناسب بودن به عنوان حائل در هنگام وقوع سیل، در تقویت بستر راه، پایداری شیروانی‌ها و دیوارهای حائل کاربرد دارد. در نوشтар حاضر بررسی رفتار لوله‌ی مدفون در تراشه‌های غیرمسلح و مسلح با کیسه‌ی خاک مدنظر است. از این رو تعدادی آزمایش بر روی تراشه‌های غیرمسلح و مسلح با یک کیسه‌ی خاک، دو لایه کیسه‌ی خاک با چیشن سوتونی (با و بدون فاصله) و دو لایه کیسه‌ی خاک با چیشن پلکانی حاوی لوله با قطر ۱۶۰ میلی‌متر تحت بار استاتیکی انجام شده است. نتایج آزمایش‌ها مبین تأثیر لایه‌ی کیسه‌ی خاک در کاهش نشت بستر خاک با محصور ساختن خاک داخل و جلوگیری از حرکت جانبی توده‌ی خاک بالای لوله است. همچنین کیسه‌ی خاک با توزیع نتش در سطح گستره‌تر و کاهش چشمگیر آن در عمق، سبب کاهش نتش انتقالی به تاج لوله و در نتیجه کاهش تغییرشکل لوله شده است.

fahmadian@mail.kntu.ac.ir  
nas\_moghaddas@mail.kntu.ac.ir

واژگان کلیدی: لوله‌ی مدفون، کیسه‌های خاک، تسليح، نشت.

## ۱. مقدمه

خطوط لوله‌های انتقال نفت، گاز، آب و ... به علت کاربرد در سطحی بسیار وسیع و اهمیت بالای آنها در زندگی انسان‌ها، شربان‌های حیاتی نامیده می‌شوند؛ که معمولاً به دلایل اقتصادی، زیبایی، ایمنی و شرایط زیست محیطی در عمق زمین دفن می‌شوند. آسیب‌پذیری لوله‌های مدفون در برابر بارهای زلزله، بارهای ناشی از عبور وسائط نقلیه، بارهای ناشی از خاک برداری در اطراف لوله‌ها (برخورد جام بیل مکانیکی و لودر) و همچنین در برابر آثار مواد شیمیایی موجود در خاک مبین ضرورت بررسی راهکارهایی جهت حفظ ایمنی و عملکرد آنهاست. لذا به منظور حفاظت و کاهش خسارت‌های وارد بر لوله‌ها، پژوهش‌های بسیاری در خصوص امکان کاهش میران نتش انتقالی از سطح خاک بر روی لوله، کاهش نشت سطح خاک و تغییرشکل لوله و مدهای گسیختگی آن انجام شده است.

امروزه استفاده از ژوستیک‌ها جهت تسليح توده‌ی خاک روی لوله‌ها در حال توسعه است. بهره‌گیری مناسب از قوس زدگی<sup>۱</sup> تراشه روی لوله و عملکرد غشاپی لایه‌ی با لایه‌های ژوتکستایل و ژوگرید می‌تواند باعث کاهش فشار روی تاج لوله نویسنده مستول

\* تاریخ: دریافت ۱۴۰۲/۵/۱۴، اصلاحیه ۱۰، پذیرش ۱۱، ۱۴۰۲/۹/۱۰.

استناد به این مقاله:

احمدیان، امیرفرهنگ و مقدس تفوشی، سیدناصر، ۱۴۰۳. حفاظت از لوله‌ی مدفون با استفاده از کیسه‌ی خاک. مهندسی عمران شریف، ۴۰(۲)، صص. ۱۱۳-۱۱۶.

DOI:10.24200/J30.2023.62766.3241

و لوله‌ی مذفون از حیث کنترل تغییرشکل لوله و نشست سطح بستر توسط یک مدل فیزیکی مدنظر بوده است. در آزمایش‌های مذکور، اثر این عوامل بررسی شده است:

- استفاده از لایه‌ی کیسه‌ی خاک;

• عمق مذفون لوله در تراشه‌های غیرمسلح و مسلح با کیسه؛

- عمق مذفون قرارگیری کیسه‌ی خاک؛

• چینش کیسه‌های خاک (چینش ستونی با و بدون فاصله و چینش پلکانی).

با توجه به سهولت ساخت کیسه‌ی خاک و اجرای آن در تراشه‌ی حاوی لوله‌ی مذفون، این روش تسلیح می‌تواند ضمن ارائه‌ی روشی مناسب در اجراء، امکان اینمی لوله‌های مذفون را فراهم کند.

موجود و مقاومت در برابر تنش‌های ناشی از زلزله و برقراری توازن و تعادل در انواع خاک بدون بهکارگیری مواد و مصالح سخت، خاص و پرهزینه: نظیر فولاد، بن، و آسفالت است. علی‌رغم عدم استفاده از کیسه‌های خاک در گذشته در ساخت سازه‌های دائم به دلیل فسادپذیری مصالح کیسه، با توسعه‌ی محصولات پلیمری و فسادناپذیری آنها، امروزه استفاده از آنها در پژوهه‌های مختلف اعم از موقت یا دائم به سهولت میسر شده است.

ماتسوکا و لیو<sup>[۱۸]</sup> در مطالعات خود روی کاربرد کیسه‌های خاک به عنوان مسلح‌کننده، فواید استفاده از سیستم کیسه‌ی خاک را به این شرح بیان کرده‌اند:

- افزایش ۵ الی ۱۰ برابری ظرفیت باربری زمین‌های نرم؛

• سهولت در ساخت بدون نیاز به ماشین‌آلات خاص؛

• دوستدار محیط‌زیست؛

• امکان استفاده از ضایعات مصالحی، نظیر: بن، آسفالت، خرد چوب، خرد لاستیک و ... به عنوان مصالح پرکننده کیسه؛

• مقاومت فشاری تا ۳ مگاپاسکال (حدود ۱٪ مقاومت فشاری بن معمولی) بسته به جنس کیسه؛

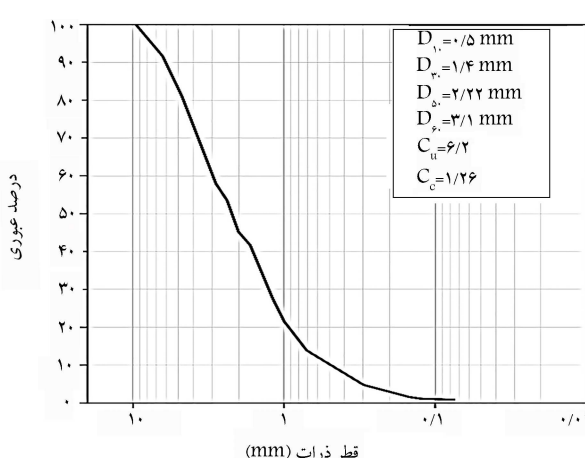
• کاهش ارتعاش ناشی از ترافیک یا ماشین به دلیل جذب ارتعاش توسط کیسه‌های خاک؛

• جلوگیری از انبساط ناشی از یخزدگی در صورت استفاده از مصالح دانه‌یی درشت.

زانگ<sup>۵</sup> و همکاران<sup>[۱۹]</sup> و نگ<sup>۶</sup> و همکاران<sup>[۲۰]</sup> با بررسی تأثیر کیسه‌های خاک در ظرفیت باربری پی مستقر روی خاک نرم به این نتیجه رسیدند که ظرفیت باربری بستر مسلح با کیسه‌های خاک در مقایسه با بستر غیرمسلح، افزایش مناسبی دارد؛ به طوری که کیسه‌های خاک سبب افزایش مدول کشسانی بستر و کاهش انتقال فشار در عمق می‌شوند.

لیو<sup>۷</sup> و همکاران<sup>[۲۰]</sup> با انجام تعدادی آزمایش بارگذاری قائم تکراری به بررسی امکان استفاده از کیسه‌های خاک جهت تسلیح بستر روسازی در مقابل بارهای ناشی از ترافیک پرداختن و عملکرد مناسب کیسه‌های خاک در کاهش نشست و افزایش مدول کشسانی بستر راه تحت بارهای تکراری و همچنین افزایش میزان میرایی شتاب در عمق بستر مسلح با کیسه‌ی خاک نسبت به بستر غیرمسلح را گزارش کردند. کاستیگلیا<sup>۸</sup> و همکاران<sup>[۲۱]</sup> عملکرد مناسب کیسه‌های خاک جهت جلوگیری از بالا آمدن لوله حین وقوع زلزله را بدون در نظر گرفتن تأثیر آن در تغییرشکل لوله گزارش کردند.

اگرچه پژوهشگران پیشین تأثیر کیسه‌های خاک در بهبود بارگذاری سازه‌های خاکی، نظیر: بستر راه، راه‌آهن و پی‌ها<sup>[۱۷-۱۳]</sup> عملکرد کیسه‌های شن جهت جلوگیری از بالا آمدن لوله حین وقوع زلزله را بدون در نظر گرفتن تأثیر آن در تغییرشکل لوله،<sup>[۲۲]</sup> یا تأثیر تسلیح تراشه‌ی حاوی لوله‌ی مذفون با ژئوستیک‌ها (ژئوکسیتیل، ژئوگرد و ژوسل) را در بهبود عملکرد لوله‌های مذفون،<sup>[۹-۱]</sup> بررسی کرده‌اند؛ اما تاکنون اثر تسلیح با کیسه‌ی خاک در رفتار تراشه‌ی مسلح حاوی لوله‌ی مذفون به منظور کنترل تغییرشکل لوله و نشست سطح بستر بررسی نشده است. از این رو در پژوهش حاضر، با توجه به اهمیت اینمی لوله‌های مذفون، سهولت اجرای کیسه‌ی خاک و عملکرد مناسب آن در بهبود رفتار بستر<sup>[۱۳]</sup> بررسی آزمایشگاهی عملکرد کیسه‌ی خاک به عنوان یک مسلح‌کننده سه‌بعدی زیر سطح بارگذاری (در بالای لوله) بر بهبود رفتار بستر



شکل ۱. توزیع اندازه‌ی ذرات خاک تراشه‌های داخل کیسه‌ی خاک.

و تغییر در قطر قائم لوله توسط حسگر اندازه‌گیری نشست (حسگر با ظرفیت ۲۵ میلی‌متر و دقت ۱٪ بیشینه‌ی ظرفیت خود)، میزان بار قائم وارد بر صفحه‌ی بارگذاری به وسیله‌ی یک سلول اندازه‌گیری بار (سلول بار با ظرفیت ۱۰ کیلونیوتون و دقت ۱٪ بیشینه‌ی ظرفیت خود) و فشار قائم وارد بر تاج لوله با استفاده از فشارسنج (فشارسنج با ظرفیت ۱ مگاپاسکال و دقت اندازه‌گیری تا ۱٪ کیلوپاسکال) مستقیماً اندازه‌گیری شدند.

با در نظر گرفتن قطر لوله (D) بر حسب میلی‌متر، کمینه‌ی عرض ترانشه (W) بر حسب میلی‌متر توسط استاندارد ۱۴ – ASTM D۲۳۲۱ [۲۲] و آینه‌نامه‌ی ۵۹۵۵ – ۱۹۸۰ BS به ترتیب  $300 \times 1/25D + 300$  و  $300 \times 1/25D + 300$  D پیشنهاد شده است. همچنین دستورالعمل (۲۰۱۰) AASHTO [۲۰]، کمینه‌ی عرض ترانشه را بر حسب میلی‌متر، بیشینه‌ی حاصل از دو مقدار  $305 \times 1/5D + 406$  و  $406 \times 1/5D + 305$  D توصیه کرده است.

لذا با توجه به طول و قطر لوله به ترتیب ۶۸۰ و ۱۶۰ میلی‌متر و به منظور ارضا کمینه‌ی عرض موردنظر آینه‌نامه‌های مذکور، ترانشه‌ی آزمایش به طول و عرض ۷۰۰ میلی‌متر و ارتفاع متغیر با توجه به عمق مدفون لوله انتخاب شد. با توجه به توصیه‌ی مقدس تقریشی و توکلی مهرگردی (۲۰۰۸) [۲۱]، مینیمی بر عمق مدفون ۲D به عنوان عمق مدفون بیشینه‌ی قرارگیری لوله در ترانشه‌ی مسلح با ژئوگرید، در پژوهش حاضر، بیشینه‌ی عمق مدفون لوله در آزمایش‌ها برابر ۲D لحاظ شده است. ترانشه‌ی آزمایش در یک جعبه با اسکلت فولادی با چهار وجه جانبی سیک (جهت سهولت در جابجایی جعبه) از صفحات MDF متحرک با ضخامت ۲۰ میلی‌متر همراه با مهارهای مناسب جهت جلوگیری از هرگونه حرکت جانبی آماده شد. این تذکر لازم است که در صورت استفاده از لوله با قطر بزرگ‌تر، مثلاً ۳۰۰ میلی‌متر، باید با توجه به ملزمات استاندارد ۱۴ – ASTM D۲۳۲۱ [۲۲] و آینه‌نامه‌ی ۵۹۵۵ – ۱۹۸۰ BS [۲۳]، کمینه‌ی عرض ترانشه تعیین شود.

### ۲. آماده‌سازی و روش انجام آزمایش‌ها

خاک ترانشه در کلیه‌ی آزمایش‌ها دارای چگالی مرطوب ۱۸/۵ کیلونیوتون بر مترمکعب و رطوبت حدود ۵٪ بوده است. جهت آماده‌سازی ترانشه، بعد از قراردادن حسگر سنجش تغییرمکان در داخل لوله (مطابق شکل ۲)، قرار دادن لوله در کفت ترانشه، نصب فشارسنج روی لوله و ثابت کردن آن (مطابق شکل ۳)، لایه‌های خاک با اختیاط در اطراف و بالای لوله به‌طور یکنواخت متراکم شدند. با در نظر گرفتن ضخامت لایه‌های خاک معادل ۴ سانتی‌متر و با توجه به میزان چگالی موردنظر



شکل ۲. تصویری از حسگر سنجش تغییرمکان و نصب آن داخل لوله.

### جدول ۱. خصوصیات ژئوتکستایل استفاده شده در تولید کیسه‌ی خاک.

پارامتر	واحد	مقدار
مقاومت کششی در جهت ماشین، (MD)	kN/m	۱۳
مقاومت کششی در جهت مقابل ماشین، (CD)	kN/m	۱۰
وزن واحد سطح	g/m <sup>۲</sup>	۱۳۸
ضخامت	mm	۰,۸

### ۲.۲. لوله

لوله‌های از جنس پلی وینیل کلرید (UPVC) [۱۱] با قطر در محدوده‌ی ۱۵۰ تا ۳۰۰ میلی‌متر غالباً برای کاربردهای زهکشی و فاضلاب استفاده می‌شوند. از آنجا که مطابق با آینه‌نامه‌ی ۹۱۱۸ ISIRI – [۲۷] لوله با نسبت قطر لوله به ضخامت دیواره برابر ۵۰ جهت استفاده در پروژه‌های انتقال فاضلاب مناسب است؛ لذا در پژوهش حاضر، از لوله در مقیاس واقعی به قطر خارجی ۱۶۰ میلی‌متر، ضخامت ۳/۲ میلی‌متر و مقاومت ۴ اتسفر استفاده شده است. توکلی مهرجردی و همکاران (۲۰۱۵) [۲۸] در مطالعات‌شان روی رفتار لوله‌های مدفون به این نتیجه رسیدند که محدوده‌ی تأثیر تنفس در امتداد طول لوله برابر عرض بار به علاوه‌ی ۱/۵ برابر عمق مدفون لوله است. لذا با توجه به بیشینه‌ی عمق مدفون در پژوهش حاضر برابر ۲D و قطر صفحه‌ی بارگذاری برابر ۱۵۰ میلی‌متر، محدوده‌ی تأثیر تنفس در امتداد طول لوله حدود ۶۳۰ میلی‌متر بوده است. لذا جهت عدم تأثیر شرایط انتهایی و طول لوله در فشارها و کرنش‌های جانبی و همچنین با توجه به ابعاد مدل فیزیکی موجود، از لوله به طول ۶۸۰ میلی‌متر استفاده شده است.

### ۳. کیسه

جهت تولید کیسه‌ی خاک از ژئوتکستایل از جنس پلی پروپیلن [۱۲] با مشخصات ارائه شده در جدول ۱ استفاده شده است. کیسه‌ها با استفاده از ماشین خیاطی دوخته شدند، به طوری که ابتدا سه وجه آنها با ماشین و پس از پرکردن کیسه‌ها از خاک، وجه چهارم آنها به صورت دستی با سوزن و نیخ دوخته شدند. ابعاد کیسه‌های خاک در تماسی آزمایش‌ها در طول و عرض به ترتیب ۶۸۰ (معادل طول لوله) و ۳۰۰ میلی‌متر و در ضخامت (ارتفاع) حدود ۸۰ میلی‌متر با وزن مخصوص ۱۹ ± ۰/۱ کیلونیوتون بر مترمکعب، پس از تراکم خاک داخل کیسه بوده است.

### ۳. نحوی آزمایش

#### ۳.۱. دستگاه آزمایش

دستگاه آزمایش، شامل سه قسمت اصلی سیستم بارگذاری، سیستم ثبت و قرائت اطلاعات و جعبه‌ی آزمایش (ترانشه) است. سیستم بارگذاری، شامل یک سیلندر هیدرولیک، مخزن روغن و بخش کنترل‌کننده با قابلیت اعمال بار تا حدود ۱۰ کیلونیوتون است. میزان دقیق بار وارد بر صفحه‌ی بارگذاری حین آزمایش، توسط سلول بار اندازه‌گیری می‌شود.

سیستم قرائت و ثبت اطلاعات با استفاده از یک واحد قرائت و ثبت داده‌ها، قابل کنترل به وسیله‌ی یک پردازشگر داخلی، جریان‌های خروجی از حسگرهای مختلف را دریافت می‌کند. میزان نشست سطح بستر توسط حسگر اندازه‌گیری نشست (حسگر با ظرفیت ۵۰ میلی‌متر و دقت ۱٪ بیشینه‌ی ظرفیت خود)

و طراحی بستر انعطاف‌پذیر راه و فرودگاه پیشنهاد کردند. در مطالعه‌ی حاضر، با توجه به محدودیت در سیستم بارگذاری جهت اعمال بار تکراری (سیکل‌ای)، براساس توصیه‌ی استاندارد ۱۲ - ASTM D۱۱۹۶<sup>[۲۱]</sup>، بار استاتیکی (غیرسیکلی - استاتیکی) بر صفحه‌ی بارگذاری اعمال شد. لذا با توجه به موارد ذکر شده، در تمامی آزمایش‌ها به منظور شبیه‌سازی و اعمال تنش ناشی از بار چرخ و سانط نقلیه‌ی نیمه‌سنگین، بار استاتیکی (غیرسیکلی) روی صفحه‌ی بارگذاری به قطر ۱۵۰ میلی‌متر و ضخامت ۲۵ میلی‌متر با سرعت ۱/۷۵ کیلوگرم بر ثانیه تا رسیدن به میزان تنش ۴۰۰ کیلوپاسکال ادامه یافت. از آنجا که در مدل آزمایش، هدف رسیدن به حالت گسیختگی در توده‌ی خاک زیر صفحه‌ی بارگذاری و تعیین ظرفیت باربری نهایی آن مشابه یک پی نیست، لذا در غالب آزمایش‌ها، به منظور بررسی و ارزیابی تغییرشکل لوله و نشت سطح ترانشه، تنش وارد بر صفحه‌ی بارگذاری (به عنوان سطح تماس چرخ وسیله‌ی نقلیه‌ی نیمه‌سنگین با سطح ترانشه) به مقدار ۴۰۰ کیلوپاسکال (در بعضی آزمایش‌ها تا ۵۵۰ کیلوپاسکال) محدود شد. همچنین با توجه به محدوده‌ی ابعاد صفحه‌ی بارگذاری و قطر لوله بررسی شده (حدود ۱۵۰ تا ۳۰۰ میلی‌متر)، عرض کیسه‌ی خاک دو برابر صفحه‌ی بارگذاری ۳۰۰ میلی‌متر برای صفحه به قطر ۱۵۰ میلی‌متر و ۶۰۰ میلی‌متر برای صفحه به قطر ۳۰۰ میلی‌متر) بوده است.

لازم به ذکر است که سیه و مانو<sup>[۲۵]</sup> (۲۰۰۵)، در خصوص بررسی اثر میزان سطح تماس چرخ ماشین با ستر زیر خود، قطر صفحه‌ی بارگذاری با اندازه‌ی بزرگ‌تر از ۱۵ برابر اندازه‌ی متوسط دانه‌های خاک (D<sub>۰</sub>) را جهت عدم تأثیر قابل توجه در نشت صفحه‌ی بارگذاری توصیه کردند، که با توجه به متوسط اندازه‌ی ذرات برابر ۲/۲۲ میلی‌متر، استفاده از صفحه‌ی بارگذاری به قطر ۱۵۰ میلی‌متر مناسب بوده است.

#### ۴. برنامه‌ی آزمایش‌ها

برنامه‌ی آزمایش‌ها جهت بررسی عوامل مؤثر در ترانشه‌ی حاوی لوله با توجه به امکانات موجود تنظیم شد. به منظور بررسی عوامل مذکور، ۱۲ آزمایش مستقل مطابق جدول ۲ انجام شدند. آزمایش‌های سری اول روی لوله مدفون در ترانشه‌ی غیرمسلح واقع در سه عمق D, D<sub>۰</sub>/۱,۵D و ۲D (شکل ۵ - الف)، آزمایش‌های سری دوم روی لوله مدفون در عمق ۲D در ترانشه‌ی مسلح با یک لایه‌کیسه‌ی خاک در عمق‌های ۲۵، ۲۰ و ۱۶ میلی‌متر (شکل ۵ - ب)، آزمایش‌های سری سوم روی لوله مدفون واقع در سه عمق D, D<sub>۰</sub>/۱,۵D و ۲D در ترانشه‌ی مسلح با یک لایه‌کیسه‌ی خاک در عمق ۲۵ میلی‌متر (شکل ۵ - ب)، آزمایش‌های سری چهارم روی لوله مدفون در عمق ۲D مسلح با دو لایه کیسه‌ی خاک با چینش ستونی با فاصله و بدون فاصله (شکل ۵ - ج) و آزمایش سری پنجم روی لوله در عمق مدفون ۲D مسلح با دو لایه کیسه‌ی خاک با چینش پلکانی (شکل ۵ - د) انجام شدند.

از جمله مسائل مهم در مطالعات آزمایشگاهی، کترل تکرار پذیری نتایج به منظور اطمینان یافتن از عملکرد مناسب سیستم و دقت در اندازه‌گیری پارامترها (تش وارد بر صفحه‌ی بارگذاری، فشار روی لوله، تغییرشکل صفحه‌ی بارگذاری و تاج لوله) است. بدین منظور ۸ آزمایش تکراری، جهت کترول راستی آزمایش‌ها و تکرار پذیری آنها صورت گرفته است. نتایج آزمایش‌های تکراری شده در مقایسه با یکدیگر اختلافی کمتر از ۴٪ را نشان داده‌اند، که این مقدار در محدوده‌ی مطالعات ژئوتکنیکی مورد تأیید است.



شکل ۳. تصویری از لوله حین آماده‌سازی آزمایش.



شکل ۴. تصویری از کیسه‌ی خاک در ترانشه و خاک اطراف حین آماده‌سازی ترانشه.

عمل تراکم هر لایه به وسیله‌ی کوبش با یک چکش لاستیکی به صورت ضربه‌ی و یکنواخت بر روی یک صفحه‌ی فلزی به ابعاد ۲۰ × ۲۰ سانتی‌متر در طول ترانشه انجام شد. در صورت وجود لایه‌ی تسلیح (کیسه‌ی خاک)، پس از رسیدن به تراز موردنظر و قرار دادن کیسه‌ی یا کیسه‌های خاک در آن تراز، کیسه‌ی خاک با استفاده از چکش لاستیکی جهت دست‌بازی به وزن مخصوص ۱۹/۱ ± ۰ کیلوینیون بر مترمکعب متراکم شد (مطابق شکل ۴). سپس با توجه به عمق قرارگیری کیسه‌ی خاک، لایه‌های خاک روی آن تا رسیدن به سطح ترانشه متراکم شدند. پس از آماده شدن ترانشه و قرار دادن صفحه‌ی بارگذاری صلب بر مرکز بستر و نصب حسگرهای موردنظر (حسگر اندازه‌گیری تغییرشکل سطح و اندازه‌گیری بار)، سیستم آماده‌ی بارگذاری شده است.

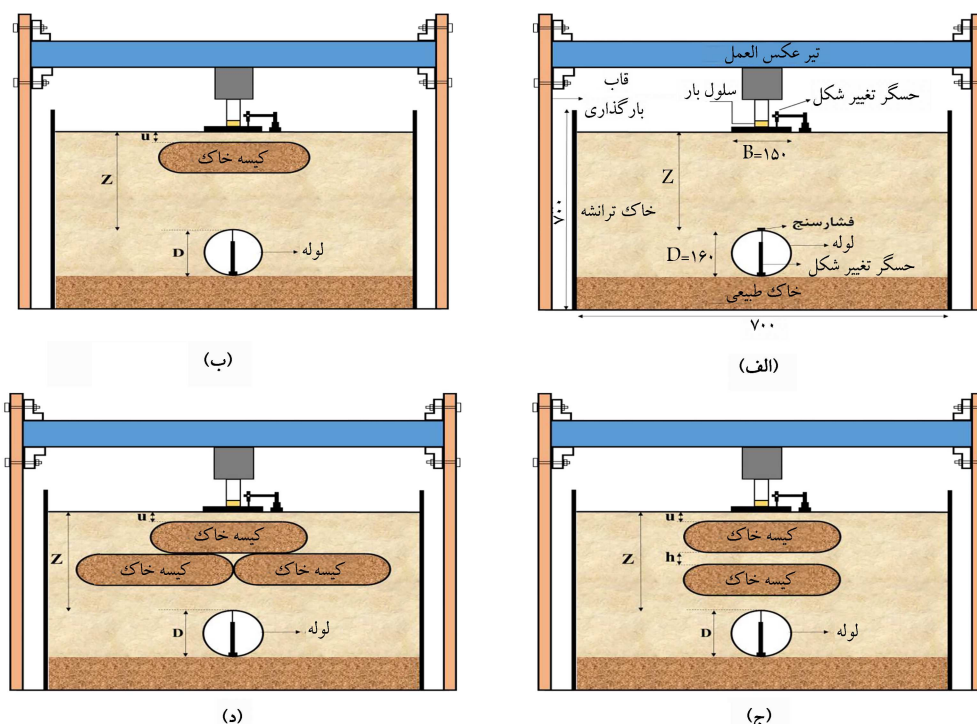
#### ۳. ابعاد صفحه‌ی بارگذاری و نوع بارگذاری روی آن

از آنجاکه در پژوهش حاضر، بررسی رفتار لوله مدفون در بستر مسلح با کیسه‌ی خاک تحت بار معادل ترافیک چرخ و سانط نقلیه تعیین شده است، لذا ابعاد صفحه‌ی بارگذاری براساس سطح تماس چرخ و سانط نقلیه تعیین شده است. با توجه به مطالعات بریتو<sup>[۲۶]</sup> و همکاران (۲۰۰۹)<sup>[۲۱]</sup>، صفحه‌ی بارگذاری جهت شبیه‌سازی سطح تماس چرخ و سانط نقلیه‌ی نیمه‌سنگین تا سنگین به صورت دایره‌بی با قطر بین ۱۵۰ تا ۳۰۰ میلی‌متر و تنش ناشی از بار چرخ و سانط نقلیه‌ی نیمه‌سنگین و سنگین به ترتیب برابر ۴۰۰ و ۸۰۰ کیلوپاسکال توصیه شده است. استاندارد ۰۹ - ASTM D۱۱۹۵<sup>[۲۲]</sup>، انجام آزمایش بارگذاری صفحه تحت بار تکراری و استاندارد ۱۲ - ASTM D۱۱۹۶<sup>[۲۳]</sup>، انجام آزمایش بارگذاری صفحه تحت بار غیرتکراری استاتیکی را جهت ارزیابی رفتار

جدول ۲. برنامه و مشخصات آزمایش‌ها روی لوله‌ی مدفون در ترانشه‌های غیرمسلح و مسلح با کیسه‌ی خاک.

سری آزمایش	نوع آزمایش	نسبت عمق مدفون لوله (Z)	به قطر آن (D)	پوشش خاک روی کیسه‌ی خاک (mm)	تعداد لایه‌ی کیسه‌ی خاک (N)	فاصله‌ی دو لایه‌ی کیسه‌ی خاک (mm)	آزمایش
۱	غیرمسلح (خاک تنها)	۱/۵، ۱	---	---	---	---	۲ + ۳*
۲	مسلح با کیسه‌ی خاک	۲	---	۲۴۰، ۱۶۰، ۸۰، ۲۵	۱	---	۲ + ۴*
۳	مسلح با کیسه‌ی خاک	۱/۵، ۱	۲۵	---	۱	---	۲ + ۲*
۴	مسلح با دو لایه کیسه‌ی خاک ستونی	۲	۲۵	۲	۰ و ۵۵	۰	۱ + ۲*
۵	مسلح با دو لایه کیسه‌ی خاک پلکانی	۲	۲۵	۲	۰	۰	۱ + ۱*

\* آزمایش‌های تکراری



شکل ۵. طرح شماتیک آزمایش‌های سری.

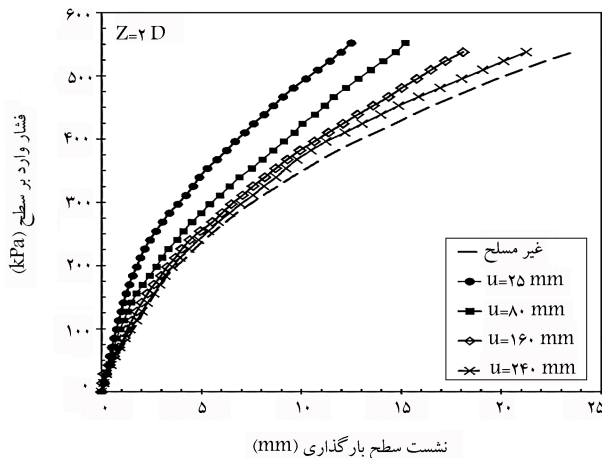
## ۵. نتایج و بحث

۱.۵. اثر عمق مدفون لوله در ترانشه‌ی غیرمسلح

در شکل ۶، تغییرات نشست سطح بارگذاری با فشار وارد بر سطح ترانشه برای لوله‌ی مدفون در سه عمق مختلف در ترانشه‌ی غیرمسلح مشاهده می‌شود؛ که مطابق آن، با افزایش فشار وارد بر سطح ترانشه از همان ابتدا نشست سطح بارگذاری صرف نظر از عمق مدفون لوله افزایش یافته است، اما با افزایش عمق مدفون لوله، در میزان مشخص از فشار مقدار نشست سطح خاک کاهش یافته است. به عنوان مثال، در فشار ۴۰۰ کیلوپاسکال، مقدار نشست از حدود ۳۱ میلی‌متر در عمق مدفون D به حدود ۱۳ میلی‌متر در عمق مدفون ۲D کاهش یافته است. عمل این امر دور شدن لوله از سطح بستر یا به عبارتی، دور شدن از حوزه‌ی تأثیر تنش‌های وارد بر سطح بستر است.

در شکل ۷، تغییرات کرشن قائم قطر لوله (نسبت تغییر در قطر قائم لوله به

بهمنظور بررسی رفتار لوله‌ی مدفون و درک بهتر از اثر کیسه‌ی خاک در رفتار سیستم مرکب خاک - کیسه‌ی خاک - لوله، نتایج آزمایش‌ها ارائه و تحلیل شده‌اند. از آنجا که معیار اصلی در اینمی‌لوله‌های انعطاف‌پذیر، کنترل میزان تغییرشکل آن است، لذا میزان کرشن قطر قائم لوله به عنوان معیار اصلی از رفتار سیستم مدنظر بوده است. آین‌نامه‌ی (۱۰ ۲۰)، AASHTO [۱۰] میزان مجاز کرشن قطر قائم لوله‌های انعطاف‌پذیر را جهت جلوگیری از ایجاد پدیده‌ی کمانش در آنها به ۰.۵٪ و آین‌نامه‌ی PVC [۱۱] برای عدم بروز هرگونه آسیب در بدنه‌ی لوله، میزان آن را به ۰.۲٪ محدود کرده است. همچنین جهت دوام و عمر بیشتر لوله‌ها و نیز کاهش هزینه‌ی نگهداری و ترمیم آنها، توصیه به محدود ساختن کرشن قطر لوله به مقادیر هر چه کمتر از ۲٪ شده است. [۱۲]

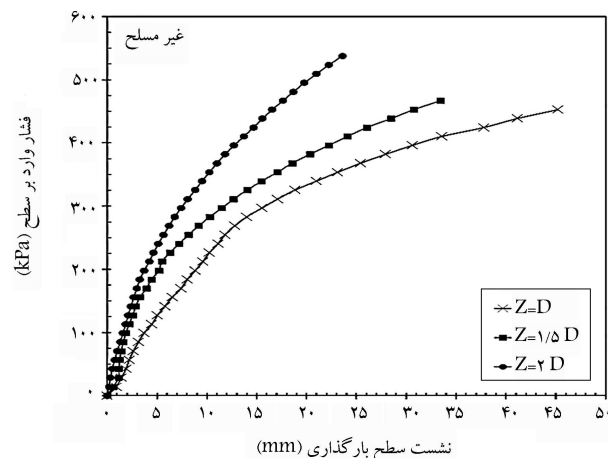


شکل ۸. تغییرات نشست سطح بستر با فشار وارد بر سطح ترانشه برای بسترهاي غير مسلح و مسلح با يك لاييه كيسه‌ي خاک در ۴ عمق مدفون: ۲۵، ۸۰، ۱۶۰ و ۲۴۰ ميلي متر از سطح بستر و لوله‌ی مدفون در عمق ۲D.

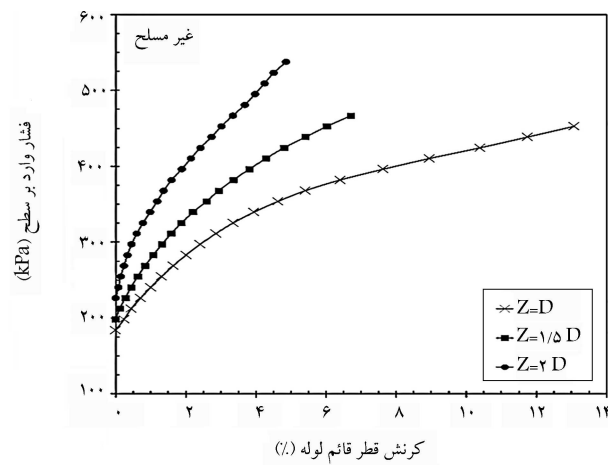
وقوع تغییرشکل در لوله، میزان تنفس انتقال یافته بر روی لوله، باید به یک میزان کمینه برسد. نتایج شکل ۷ نشان می‌دهند که علی‌رغم کاهش قطر قائم لوله با افزایش عمق مدفون لوله، همچنان مقدار آن در عمق ۲D و فشار بیشتر از ۴۰۰ کیلوپاسکال بیش از ۲٪ است، که این امر مبین لزوم بهبود رفتار سیستم است.

## ۲.۵ اثر عمق مدفون کيسه خاک

همان‌طور که در بخش قبل ملاحظه شد، اگرچه افزایش عمق مدفون لوله یکی از راهکارهای کاهش فشار وارد بر لوله و در نتیجه کاهش ترانشه با مصالح مناسب این امر موجب افزایش خاکبرداری و خاکریزی مجدد ترانشه با مصالح مناسب می‌شود. لذا جهت اجتناب از این امر و تأثیر اینمی بیشتر لوله‌های مدفون، استفاده از تسلیح خاک روی لوله‌ی مدفون با ژوستنتیک‌ها، نظری: ژوگرید، ژوتکستابل، یا ژوسل توصیه شده است.<sup>[۱۰]</sup> با توجه به عملکرد مناسب کيسه خاک در بهبود باربری بستر،<sup>[۱۱]</sup> استفاده از آن به عنوان لایه‌ی تسلیح سه‌بعدی و ایجاد عملکرد محدودکننده‌ی توده‌ی خاک محصور در خود، در کاربردهای مختلف مذکور است. بهمنظور تعیین عمق مدفون مناسب کيسه خاک، <sup>[۱۰]</sup> آزمایش برای لوله‌ی مدفون در عمق ۲D در ترانشه مسلح با یک لایه‌ی کيسه خاک، واقع در اعماق ۲۵، ۲۰، ۱۶۰ و ۲۴۰ ميلي متر از سطح بستر (شکل ۵ - ب) انجام شده است. در شکل ۸، تغییرات نشست سطح بستر در مقابل فشار وارد بر سطح برای ۴ عمق مدفون مشاهده می‌شود؛ که مطابق آن، با افزایش عمق مدفون کيسه خاک، نشست سطح بازگذاری افزایش یافته و منحنی تغییرات به سمت منحنی ترانشه غير مسلح حرکت کرده است. به طوری که در فشار ۴۰۰ کیلوپاسکال در حالت کيسه خاک در عمق‌های ۲۵، ۲۰، ۱۶۰ و ۲۴۰ ميلي متر، میزان نشست سطح به ترتیب ۶/۸، ۳/۹، ۱۰/۸ و ۱۱/۴ ميلی‌متر بوده است. با افزایش عمق مدفون کيسه خاک به عملت کاهش سختی ترانشه زیر سطح بازگذاری (افزایش ضخامت لایه‌ی خاک روی کيسه خاک و دور شدن کيسه خاک از حوزه‌ی تنفس بیشینه)، ناحیه‌ی نشست پذیر زیر سطح بازگذاری توسعه می‌یابد. بنابراین استفاده از کيسه خاک در فاصله‌ی نزدیک به سطح بازگذاری می‌تواند منجر به کنترل نشست سطح بستر شود. به هر حال پوشش ۲۵ ميلي‌متر به عنوان ضخامت مناسب خاک روی کيسه می‌تواند علاوه‌بر توزیع یکنواخت تنفس روی کيسه خاک، نقش محافظت کيسه در برابر اشعه‌ی



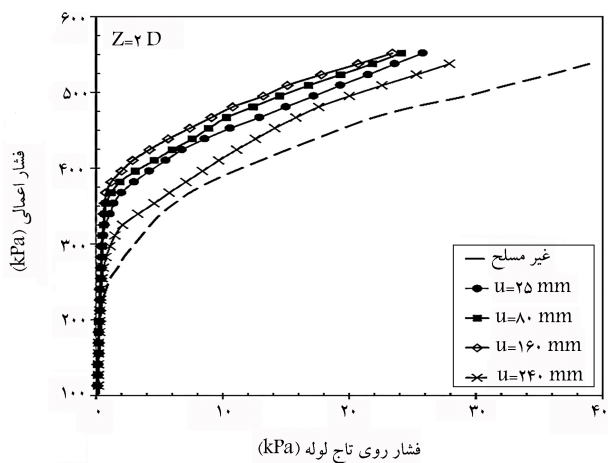
شکل ۶. تغییرات نشست سطح بستر با فشار وارد بر سطح ترانشه غير مسلح برای لوله‌ی مدفون در سه عمق D، ۱/۵D و ۲D.



شکل ۷. تغییرات کرنش قطر قائم لوله با فشار وارد بر سطح ترانشه غير مسلح برای لوله‌ی مدفون در سه عمق D، ۱/۵D و ۲D.

قطر لوله بر حسب درصد) در مقابل فشار وارد بر سطح برای لوله‌ی مدفون در سه عمق مختلف در ترانشه غير مسلح مشاهده می‌شود؛ که مطابق آن، با افزایش عمق مدفون، میزان کرنش قطر قائم لوله به نحو چشمگیری کاهش یافته است، که به دلیل کاهش میزان تنفس منتقل شده به تاج لوله، هم‌زمان با افزایش عمق مدفون آن است.<sup>[۱۲]</sup>

مطابق شکل اخیر، برای دو عمق مدفون D و ۱/۵D، با رسیدن فشار وارد بر سطح به حدود ۴۰ کیلوپاسکال، میزان کرنش قطر قائم لوله از مقادیر ۲ و حتی ۵ درصد (مقادیر مجاز دو آینه‌نامه‌ی لوله‌های PVC،<sup>[۱۳]</sup> AASHTO<sup>[۱۴]</sup> و ۲۰/۱۰ درآستانه<sup>[۱۵]</sup>) تجاوز کرده است. این امر می‌تواند سبب صدمه‌ی جدی به لوله‌ی مدفون یا حتی شکست آن شود. همچنین با افزایش عمق مدفون لوله به میزان ۲ برابر قطر آن (Z = 2D)، کرنش قطر قائم لوله در میزان فشار ۴۰۰ کیلوپاسکال وارد بر سطح بستر به حدود ۲٪ رسیده است، که مطابق آینه‌نامه‌ی لوله‌های PVC درآستانه<sup>[۱۶]</sup> بروز آسیب در بدنه‌ی لوله قرار گرفته است. نکته‌ی قابل توجه و حائز اهمیت در شکل ۷، عدم وقوع تغییرشکل در لوله تا رسیدن میزان فشار بر سطح ترانشه به یک مقدار کمینه است. این مقدار از فشار برای لوله‌ی مدفون در عمق‌های ۱D، ۱/۵D و ۲D به ترتیب حدود ۱۸۰، ۲۰۰ و ۲۵۰ کیلوپاسکال است. به عبارت دیگر، برای

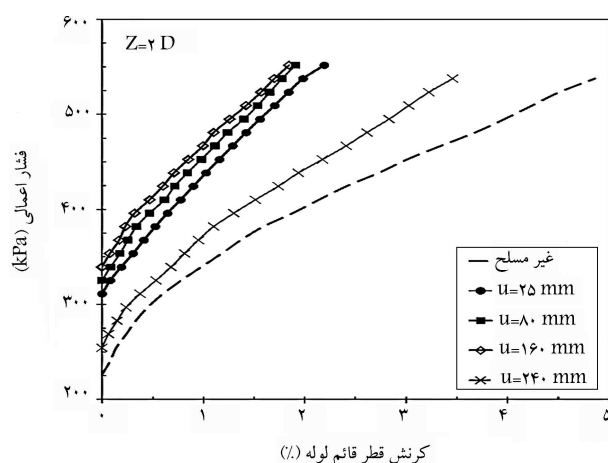


شکل ۱۰. تغییرات فشار روی تاج لوله با فشار وارد بر سطح برای بسترهای غیرمسلح و مسلح با یک لایه کیسه‌ی خاک در ۴ عمق مدفنون: ۲۵، ۸۰، ۱۶۰ و ۲۴۰ میلی‌متر از سطح بستر برای لوله‌ی مدفنون در عمق ۲D.

کیلوپاسکال بوده است. کاهش فشار روی تاج لوله می‌تواند به عملت توزیع بار در اعماق پایین‌تر توسط کیسه‌ی خاک باشد.

در مجموع مطابق شکل‌های ۹ و ۱۰، با افزایش عمق مدفنون کیسه‌ی خاک به ۱۶۰ میلی‌متر، میزان تغییرشکل لوله و فشار روی آن، کاهش مناسبی داشته است. این امر می‌تواند به عملت توزیع فشار روی لوله ناشی از کیسه‌ی خاک باشد. به عبارت دیگر، وجود کیسه‌ی خاک در نزدیکی لوله از حرکت توده‌ی خاک و اعمال تنش زیاد بر لوله جلوگیری می‌کند، بنابراین قرار گرفتن کیسه‌ی خاک در نزدیکی لوله‌ی مدفنون می‌تواند در کنترل تغییرشکل لوله و در نتیجه کاهش صدمه و آسیب به آن مؤثر باشد. لیکن قرار گرفتن مستقیم کیسه‌ی خاک روی لوله و بدون وجود لایه خاک بین آنها سبب افزایش فشار به لوله می‌شود.

با توجه به اینکه قرار گرفتن کیسه‌ی خاک در اعماق نزدیک به لوله سبب افزایش نشت سطح به میزان قابل ملاحظه‌ی می‌شود، بنابراین استفاده از کمینه‌ی پوشش خاک روی کیسه‌ی خاک علاوه بر محافظت از آن، نقش مهمی در کنترل نشت سطح و تغییرشکل لوله دارد. بنابراین در آزمایش‌های آنی، عمق مدفنون کیسه‌ی خاک برابر ۲۵ میلی‌متر (میلی‌متر  $u = 25$ ) در نظر گرفته شده است. همچنین وجود کیسه‌ی خاک در نزدیکی لوله (در مطالعه‌ی حاضر قرار گرفتن در عمق ۱۶۰ میلی‌متر)، تأثیر مناسبی در کاهش تغییرشکل لوله داشته است. لذا استفاده از دو لایه کیسه‌ی خاک، یکی در نزدیکی سطح تراشه، جهت کنترل نشت سطح و دیگری در نزدیکی لوله، جهت کنترل تغییرشکل لوله می‌تواند مفید باشد.



شکل ۹. تغییرات کرنش قطر قائم لوله با فشار وارد بر سطح برای بسترهای غیرمسلح در عمق با یک لایه کیسه‌ی خاک در ۴ عمق مدفنون: ۲۵، ۸۰، ۱۶۰ و ۲۴۰ میلی‌متر از سطح بستر برای لوله‌ی مدفنون در عمق ۲D.

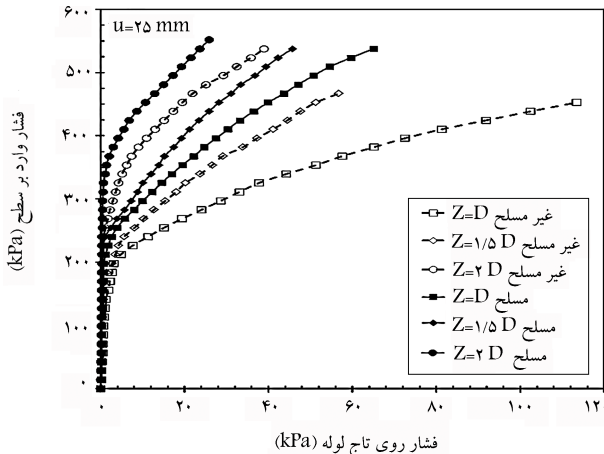
فرایندهای خورشیدی و جلوگیری از بارگی آن در برابر عمور تراویک را نیز ایفا کند.<sup>[۱]</sup> در شکل ۹، تغییرات کرنش قطر قائم لوله با فشار وارد بر سطح برای لوله‌ی مدفنون در عمق ۲D در تراشه‌ی مسلح با یک لایه کیسه‌ی خاک در ۴ عمق مدفنون، ۲۵، ۸۰، ۱۶۰ و ۲۴۰ میلی‌متر از سطح بستر مشاهده می‌شود؛ که مطابق آن، با افزایش عمق مدفنون کیسه‌ی خاک تا ۱۶۰ میلی‌متر، کرنش قطر قائم لوله کاهش یافته است. اما با قرار گرفتن کیسه‌ی خاک در عمق ۲۴۰ میلی‌متر (دقیقاً روی لوله)، میزان آن افزایش قابل توجهی یافته است. به عنوان مثال، در فشار ۴۰۰ کیلوپاسکال در حالت کیسه‌ی مدفنون در عمق‌های ۲۵، ۸۰، ۱۶۰ و ۲۴۰ میلی‌متر، میزان کرنش قطر قائم لوله، به ترتیب ۵۸، ۶۸، ۷۸ و ۸۸ درصد بوده است. همان‌طور که ملاحظه می‌شود، استفاده از کیسه‌ی خاک به عنوان لایه‌ی تسليح در اعماق مختلف ۲۵ تا ۱۶۰ میلی‌متر سبب کنترل تغییرشکل قطر قائم لوله به کمتر از مقدار مجاز چهت بروز هرگونه آسیب در بدنه‌ی لوله ۲٪ در آینه‌ی لوله PVC شده است.

همچنین، قرار گرفتن کیسه‌ی خاک دقیقاً روی لوله (میلی‌متر  $u = 240$ ) موجب بروز تغییرشکل قابل توجه در لوله شده است، به طوری که در فشار ۴۰۰ کیلوپاسکال، میزان کرنش قطر قائم لوله به ۱۳٪ رسیده است، که این میزان در مقایسه با حالت‌های دیگر قرار گرفتن کیسه‌ی خاک در عمق‌های کمتر، بیشتر بوده است. این امر می‌تواند به عملت وقوع برش سوراخ‌کننده در توده‌ی خاک روی کیسه و اعمال مستقیم فشار به لوله از طریق کیسه باشد. به عبارتی، قرار گرفتن مستقیم کیسه‌ی خاک روی لوله، مانع از توزیع مناسب بار و کاهش فشار وارد بر لوله می‌شود. بنابراین عدم قرار گیری کیسه‌ی خاک دقیقاً روی لوله و به عبارتی وجود توده‌ی خاک بین کیسه‌ی خاک و لوله ضروری است.

در شکل ۱۰، تغییرات فشار روی تاج لوله با فشار وارد بر سطح برای لوله‌ی مدفنون در عمق ۲D در تراشه‌ی مسلح با یک لایه کیسه‌ی خاک در ۴ عمق مدفنون، ۲۵، ۸۰، ۱۶۰ و ۲۴۰ میلی‌متر از سطح بستر مشاهده می‌شود؛ که مطابق آن، فشار روی تاج لوله با افزایش عمق مدفنون کیسه‌ی خاک تا ۱۶۰ میلی‌متر کاهش یافته است، اما با رسیدن عمق مدفنون کیسه به ۲۴۰ میلی‌متر میزان آن زیاد شده است. مقدار فشار روی تاج لوله در فشار ۴۰۰ کیلوپاسکال برای کیسه‌ی مدفنون در عمق‌های ۲۵، ۸۰، ۱۶۰ و ۲۴۰ میلی‌متر به ترتیب برابر ۴,۵, ۵, ۶, ۷, ۸, ۹ و ۱۰ میلی‌متر می‌شود.

### ۳.۵ اثر عمق مدفنون لوله در تراشه‌ی مسلح با کیسه‌ی خاک

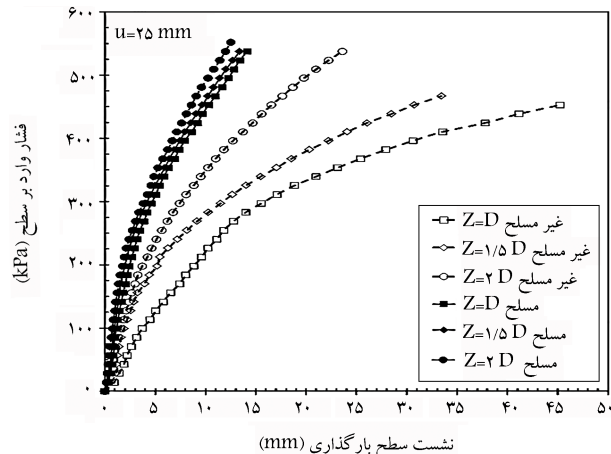
به منظور بررسی اثر عمق مدفنون لوله در تراشه‌ی مسلح، سه آزمایش (شکل ۵ - ب) روی لوله‌ی مدفنون در اعماق D, ۱/۵D و ۲D در تراشه‌ی مسلح با یک لایه کیسه‌ی خاک واقع در عمق ۲۵ میلی‌متر از سطح بارگذاری (سطح تراشه) انجام شده است. در شکل ۱۱، مقایسه‌ی تغییرات نشت سطح بستر در مقابل فشار وارد بر سطح برای لوله‌ی مدفنون در سه عمق D, ۱/۵ D و ۲D در دو حالت تراشه‌ی غیرمسلح و مسلح با کیسه‌ی خاک مشاهده می‌شود؛ که مطابق آن، صرف نظر از عمق مدفنون لوله، استفاده از لایه‌ی کیسه‌ی خاک سبب کاهش قابل توجه در میزان نشت سطح بستر نسبت به حالت غیرمسلح شده است. در واقع، کیسه‌ی خاک



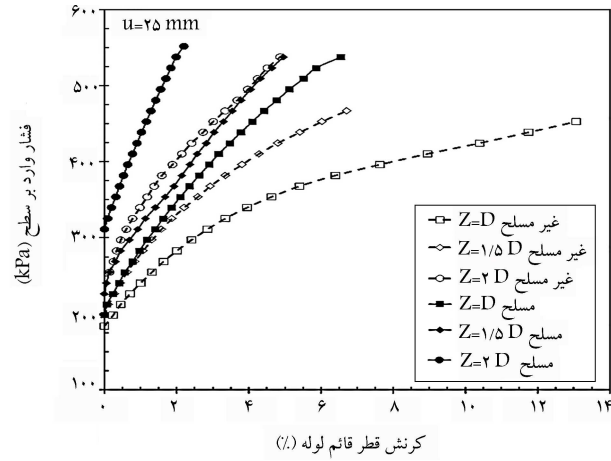
شکل ۱۳. تغییرات فشار روی تاج لوله با فشار وارد بر سطح ترانشه در حالت‌های غیرمسلح و مسلح با یک لایه کیسه‌ی خاک برای لوله مدفون در سه عمق:  $D$ ,  $1/5D$  و  $2D$ .

غیرمسلح و مسلح با کیسه‌ی خاک مشاهده می‌شود؛ که مطابق آن، تحت فشار ۴۰ کیلوپاسکال وارد بر سطح بستر، استفاده از لایه‌ی کیسه‌ی خاک، موجب کاهش کرنش قطر قائم لوله به ترتیب حدود ۳۸، ۶۳ و ۶۵ درصد نسبت به ترانشه غیرمسلح برای لوله‌ی واقع در سه عمق مدفون  $D$ ,  $1/5D$  و  $2D$  شده است. کاهش کرنش قطر قائم لوله به علت وجود لایه‌ی کیسه‌ی خاک، عملکرد محصورکننگی آن و توزیع بار در سطح گستره‌تر (کاهش تنش انقلابی به روی لوله) بوده است. مقدار کرنش قطر قائم لوله در ترانشه مسلح با یک لایه‌ی کیسه‌ی خاک برای لوله در عمق مدفون  $2D$  در فشار ۴۰ کیلوپاسکال برابر  $7/10$ % بوده است، که با توجه به آین‌نامه‌ی لوله‌های PVC<sup>[۱۶]</sup> آسیبی به بدنه‌ی لوله وارد نمی‌شود. در حالی که این مقدار در ترانشه غیرمسلح حدود  $2/7$ % است. بنابراین می‌توان جهت جلوگیری از آسیب به لوله مدفون و اینمی بیشتر آن، علاوه‌بر افزایش عمق مدفون لوله، از لایه‌ی کیسه‌ی خاک استفاده کرد. لازم به ذکر است که برخلاف عدم تأثیر قابل توجه عمق مدفون لوله در نشت سطح خاک در ترانشه مسلح، عمق مدفون لوله در حالت وجود کیسه‌ی خاک در میزان تغییرشکل لوله تأثیر قابل توجهی دارد. پژوهش‌گران پیشین در مطالعات خود روی رفتار لوله در ترانشه مسلح با ژتوسل (لایه‌ی تسليح سه‌بعدی مشابه کیسه‌ی خاک) عملکرد مشابهی از تأثیر لایه‌ی تسليح در کاهش تغییرشکل لوله و نشت سطح خاک در را گزارش کرده‌اند.<sup>[۷-۹]</sup> همچنین تأثیر قابل ملاحظه‌ی کیسه‌ی خاک در بهبود عملکرد سیستم لوله مدفون، مشابه تأثیر آن در بهبود ظرفیت بستر در مطالعات ژانگ و همکاران (۲۰۲۳)،<sup>[۱۰]</sup> ونگ و همکاران (۲۰۱۹)<sup>[۱۱]</sup> و لیو و همکاران (۲۰۲۰)<sup>[۱۲]</sup> بوده است.

در شکل ۱۳، تغییرات فشار روی تاج لوله با فشار وارد بر سطح ترانشه برای لوله‌ی واقع در سه عمق مدفون  $D$ ,  $1/5D$  و  $2D$  در دو حالت ترانشه غیرمسلح و مسلح مقایسه شده است. مقادیر فشار برای ترانشه غیرمسلح روی تاج لوله در تراز فشار وارد بر سطح ۴۰ کیلوپاسکال برای لوله مدفون در سه عمق  $D$ ,  $1/5D$  و  $2D$  به ترتیب حدود ۷۴، ۳۴ و ۱۱ کیلوپاسکال بوده است. با استفاده از رابطه‌ی بوسینسک<sup>[۱۵]</sup> (۱۸۸۵)،<sup>[۱۷]</sup> تنش قائم در زیر مرکز یک سطح بارگذاری دایره‌ی، مقادیر فشار در عمق موردنظر (روی لوله) در حالت فشار وارد بر سطح ۴۵ کیلوپاسکال در سه عمق مدفون  $D$ ,  $1/5D$  و  $2D$  به ترتیب حدود ۱۰۳



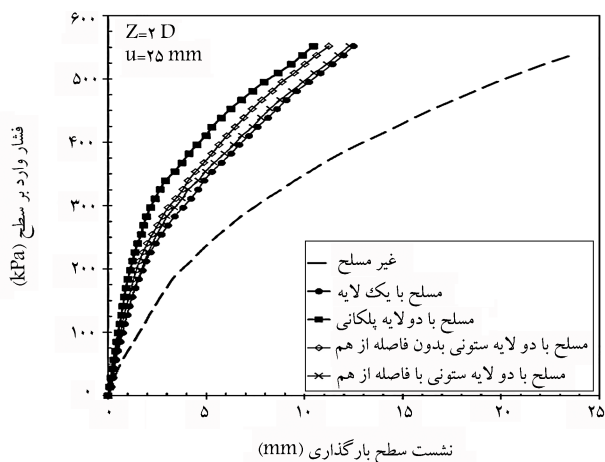
شکل ۱۱. تغییرات نشت سطح بستر با فشار وارد بر سطح ترانشه در حالت‌های غیرمسلح و مسلح با یک لایه کیسه‌ی خاک برای لوله مدفون در سه عمق:  $D$ ,  $1/5D$  و  $2D$ .



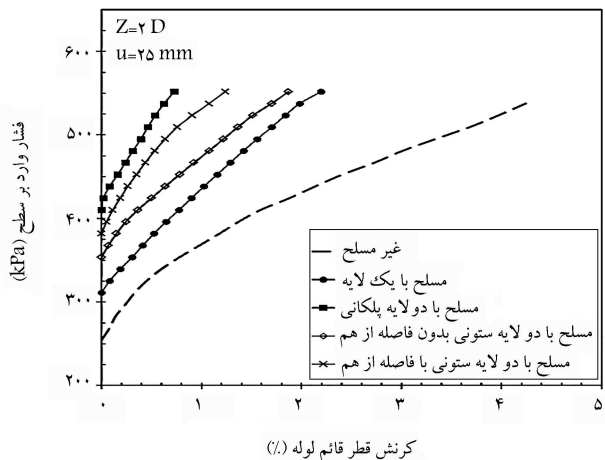
شکل ۱۲. تغییرات کرنش قطر قائم لوله با فشار وارد بر سطح ترانشه در حالت‌های غیرمسلح و مسلح با یک لایه کیسه‌ی خاک برای لوله مدفون در سه عمق:  $D$ ,  $1/5D$  و  $2D$ .

با محصور کردن خاک داخل خود و کاهش تنش در عمق، از نشت لایه‌های فوقانی خاک و در نتیجه حرکت توده‌ی خاک بالای لوله جلوگیری می‌کند. مطابق شکل ۱۱، میزان کاهش در نشت در مقایسه با حالت غیرمسلح در فشار ۴۰ کیلوپاسکال وارد بر سطح برای لوله مدفون در عمق‌های  $D$ ,  $1/5D$  و  $2D$  به ترتیب ۷۴، ۶۶ و ۴۷ درصد بوده است. این مقادیر کاهشی میین آن است که با افزایش عمق مدفون لوله، علی‌رغم بهبود در رفتار سیستم، تأثیر تسليح با کیسه‌ی خاک (نسبت به ترانشه غیرمسلح) کاهش یافته است. همچنین ملاحظه می‌شود که افزایش عمق مدفون لوله، در کاهش میزان نشت سطح بستر در حالت ترانشه غیرمسلح در مقایسه با ترانشه غیرمسلح محسوس نیست. این تذکر لازم است که انتظار می‌رود با افزایش تراز فشار وارد بر سطح، عمق مدفون لوله در ترانشه مسلح تأثیرگذارتر شود. به عبارتی می‌توان گفت با وجود لایه‌ی کیسه‌ی خاک، برای رسیدن به یک میزان نشت مشخص از سطح بستر، امکان قرار دادن لوله در عمق مدفون کمتر وجود دارد، که این امر نیازمند بررسی بیشتر است.

در شکل ۱۲، تغییرات کرنش قطر قائم لوله با فشار وارد بر سطح ترانشه برای لوله‌ی واقع در سه عمق مدفون  $D$ ,  $1/5D$  و  $2D$  در دو حالت ترانشه



شکل ۱۴. تغییرات نشست سطح بستر با فشار وارد بر سطح تراشه برای بسترها غیرمسلح و مسلح با یک و دو لایه کیسه‌ی خاک (پلکانی و ستونی) برای لوله مدفون در عمق  $2D$ .



شکل ۱۵. تغییرات کرنش قطر قائم لوله با فشار وارد بر سطح برای بسترها غیرمسلح و مسلح با یک و دو لایه کیسه‌ی خاک (پلکانی و ستونی) برای لوله مدفون در عمق  $2D$ .

است. این مقادیر از کرنش قطر قائم لوله بسیار پایین تر از مقدار مجاز آن جهت بروز هرگونه آسیب در بدنه لوله (%۲) در آین نامه‌ی لوله‌های PVC<sup>[۲۶]</sup> بوده است. همان‌طور که ملاحظه می‌شود، قرار گرفتن کیسه‌های خاک به صورت ستونی سبب کاهش تغییرشکل لوله شده است. در حالت مسلح با دو لایه ستونی از کیسه‌ی خاک بدون فاصله از هم در فشار  $400$  کیلوپاسکال، کرنش قطر قائم لوله برابر  $3\%$  بوده است، که با نزدیک شدن کیسه‌ی خاک به لوله (حالت ستونی با فاصله از هم) کرنش قطر قائم لوله در این فشار به حدود  $10\%$  کاهش یافته است. بنابراین می‌توان نتیجه گرفت اگرچه استفاده از دو لایه ستونی از کیسه‌ی خاک با فاصله از هم در مقایسه با یک لایه کیسه‌ی خاک، تأثیر قابل ملاحظه‌ی در کاهش نشست بستر ندارد، لیکن تأثیر زیادی در کاهش تغییرشکل لوله دارد. علت این امر، عملکرد کیسه‌ی نزدیک به لوله در توزیع بار در سطح گسترشده تر و در نتیجه کاهش تراز نتش وارد بر تاج لوله است.

در شکل ۱۶، تغییرات فشار روی تاج لوله با فشار وارد بر سطح برای لوله مدفون در عمق  $2D$  در تراشه‌های غیرمسلح و مسلح با یک و دو لایه کیسه‌ی خاک (پلکانی و ستونی) مشاهده می‌شود؛ که مطابق آن، با افزایش تعداد لایه‌های

$52$  و  $30$  کیلوپاسکال محاسبه شده است. همان‌طور که ملاحظه می‌شود، مقادیر فشار اندازه‌گیری شده از آزمایش به ترتیب برای سه عمق مدفون  $D$ ,  $1,5D$  و  $2D$  برابر  $5,65$ ,  $10,36$  و  $15,72$  فشار حاصل از رابطه‌ی بوسینسک بوده است. کاهش فشار روی لوله در مقایسه با فشار حاصل از رابطه‌ی بوسینسک با افزایش عمق مدفون لوله را می‌توان به وجود لوله، وقوع پدیده‌ی قوس زدگی به عملت تغییرشکل لوله و نشست توده‌ی خاک روی آن و رفتار خمیری خاک تحت بارهای وارده (برخلاف فرض رفتار کشسان در روش بوسینسک) نسبت داد.

در حالت وجود یک لایه کیسه‌ی خاک، فشار وارد بر لوله به میزان قابل توجهی نسبت به حالت غیرمسلح کاهش می‌یابد. در فشار وارد بر سطح  $400$  کیلوپاسکال، برای لوله‌ی واقع در عمق  $D$ ,  $1,5D$  و  $2D$ ، این میزان کاهش به ترتیب حدود  $46$  و  $7$  کیلوپاسکال نسبت به حالت غیرمسلح بوده است. علت این میزان کاهش، عملکرد محدود کمندگی خاک توسط کیسه و توزیع بار در سطح وسیع تر بوده است. این امر نشان می‌دهد که با افزایش عمق مدفون لوله، اگرچه همچنان کیسه‌ی خاک تأثیر قابل توجهی در رفتار لوله دارد، اما به هر حال از نخ تأثیر آن در کاهش فشار کاسته شده است.

۴.۵. اثر تعداد لایه و چینش کیسه‌ی خاک در رفتار لوله مدفون در بخش‌های قبل، اثر فقط یک کیسه‌ی خاک در رفتار لوله و نشست سطح بستر بررسی شده و نتایج نشان داده است که قرار گرفتن فقط یک کیسه‌ی خاک در عمق  $25$  میلی‌متری (میلی‌متر  $= 25 = u$ )، موجب بروز کمترین نشست در سطح بارگذاری و قرار گرفتن یک کیسه‌ی خاک در عمق  $160$  میلی‌متری (میلی‌متر  $= 160 = u$ )، موجب وقوع کمترین تغییرشکل در لوله شده است. از این رو در بخش حاضر، اثر تعداد لایه و نحوه چینش کیسه‌های خاک روی یکدیگر به صورت ستونی و پلکانی بررسی شده است (شکل‌های  $5 - ج$  و  $5 - د$ ) در خصوص دو لایه کیسه‌ی خاک ستونی با فاصله از هم، یک کیسه‌ی خاک در عمق  $25$  میلی‌متری (میلی‌متر  $= 25 = u$ ) و کیسه‌ی خاک دیگر در عمق  $160$  میلی‌متری (میلی‌متر  $= 160 = u$ ) قرار گرفتند. در شکل ۱۴، تغییرات نشست سطح در مقابل فشار وارد بر سطح برای لوله مدفون در عمق  $2D$  واقع در تراشه‌های غیرمسلح و مسلح با یک لایه و دو لایه کیسه‌ی خاک با چینش ستونی با فاصله و بدون فاصله‌ی قائم و چینش پلکانی مشاهده می‌شود؛ که مطابق آن، استفاده از دو لایه کیسه‌ی خاک با چینش ستونی و بدون فاصله از هم در مقایسه با چینش ستونی با فاصله از هم و همچنین یک لایه کیسه‌ی خاک، عملکرد بهتری در کاهش نشست سطح داشته است. همچنین، استفاده از چینش پلکانی دو لایه در مقایسه با چینش دو لایه ستونی با فاصله و بدون فاصله، عملکرد مناسب‌تری در کاهش نشست داشته است. به طوری که نشست در سه حالت اخیر در فشار  $400$  کیلوپاسکال به ترتیب  $6,4\%$ ,  $5,6\%$  و  $7,5\%$  میلی‌متر ( $19$  و  $29$  درصد کاهش) بوده است.

در شکل ۱۵، تغییرات کرنش قطر قائم لوله در مقابل فشار وارد بر سطح برای لوله‌ی واقع در عمق  $2D$  در تراشه‌های غیرمسلح و مسلح با یک و دو لایه کیسه‌ی خاک (پلکانی و ستونی) مشاهده می‌شود؛ که مطابق آن، با افزایش تعداد لایه‌ی کیسه‌ی خاک به دو لایه، مقادیر کرنش قطر قائم لوله کاهش چشمگیری یافته است. همچنین استفاده از دو لایه پلکانی از کیسه‌ی خاک سبب کاهش تغییرشکل لوله به میزان قابل ملاحظه‌ی شده است. به عنوان مثال، برای دو لایه پلکانی از کیسه‌ی خاک در فشار  $400$  کیلوپاسکال، کرنش قطر قائم لوله در حدود  $7\%$  بوده است، که با افزایش فشار حتی به  $550$  کیلوپاسکال، کرنش قطر قائم لوله به حدود  $7,7\%$  رسیده

تبديل پارامترهای طراحی از مدل کوچک مقیاس به پارامترهای طراحی در مدل واقعی بررسی کردند.<sup>[۴۰, ۴۱]</sup>

در مطالعه‌ی حاضر، پارامترهای اصلی تأثیرگذار در رفتار مدل، شامل پارامترهای:  $Z, D, B, S, u, h, d, b, \gamma, G, \Delta, q, K_p, K_g$  و  $\phi$  هستند، که  $b$  و  $d$  به ترتیب عرض و ضخامت کیسه‌ی خاک،  $S$  و  $\Delta$  به ترتیب نشتت صفحه‌ی بارگذاری و تغییرشکل قطر قائم لوله،  $G$  مدول برشی خاک،  $K_g$  و  $K_p$  به ترتیب سختی ژئوسنتیک (استفاده شده در تولید کیسه) و سختی لوله  $\gamma$  وزن مخصوص خاک،  $\phi$  زاویه‌ی اصطکاک خاک و  $q$  فشار وارد بر صفحه‌ی بارگذاری هستند (سایر پارامترها در بخش‌های پیشین تعریف شده‌اند). از این رو، تابع  $f$  حاکم بر سیستم متغیرهای ذکور مطابق رابطه‌ی ۱ تعیین می‌شود:

$$f(B, D, Z, b, d, h, u, S, \Delta, \gamma, G, K_p, K_g, q, \phi) = 0 \quad (1)$$

علی‌رغم وجود تعداد ۱۵ متغیر در رابطه‌ی اخیر، مدل فقط شامل دو بعد اولیه از نیرو ( $F$ ) و طول ( $L$ ) است. مطابق رابطه‌ی ۲، سیستم حاضر می‌تواند توسط ۱۳ پارامتر مستقل بی‌بعد بیان شود، که در آن،  $\pi_1$  تا  $\pi_{12}$  نسبت باکینگهام برای ۱۳ پارامتر مستقل هستند.

$$g(\pi_1, \pi_2, \pi_3, \dots, \pi_{12}) = g\left(\frac{D}{B}, \frac{Z}{B}, \frac{b}{B}, \frac{d}{B}, \frac{h}{B}, \frac{u}{B}, \frac{S}{B}, \frac{\Delta}{B}, \frac{G}{\gamma B}, \frac{K_g \gamma}{G}, \frac{K_p \gamma}{G}, \frac{q}{\gamma B}, \phi\right) = 0 \quad (2)$$

که در آن،  $g$  تابع حاکم بر سیستم است. اگر نسبت بعد صفحه‌ی بارگذاری در مدل واقعی ( $B_p$ ) به مدل آزمایشگاهی ( $B_m$ ) مطابق رابطه‌ی ۳ برابر با  $\lambda$  ضریب مقیاس و اندازه‌های  $p$  و  $m$  به ترتیب مربوط به مدل واقعی و آزمایشگاهی هستند. فرض شود:

$$\frac{B_p}{B_m} = \lambda \quad (3)$$

برای تضمین تشابه، باید نسبت‌های باکینگهام ( $\pi$ ) در رابطه‌ی ۲ در مدل آزمایشگاهی واقعی یکسان باشند ( $(\pi_i)_m = (\pi_i)_p$ ) بنابراین برای  $i = 1$  تا  $12$  می‌توان رابطه‌ی ۴ را نوشت:

$$\frac{D_p}{D_m} = \frac{Z_p}{Z_m} = \frac{b_p}{b_m} = \frac{d_p}{d_m} = \frac{h_p}{h_m} = \frac{u_p}{u_m} = \frac{S_p}{S_m} = \frac{\Delta_p}{\Delta_m} = \lambda \quad (4)$$

برای  $i = 1$  با فرض یکسان بودن چگالی خاک در هر دو مدل و در نظر گرفتن  $(\pi_{10})_p = (\pi_{10})_m$  و رابطه‌ی ۳، نسبت مدول برشی خاک ( $G$ ) در مدل‌های واقعی و آزمایشگاهی مطابق رابطه‌ی ۵ خواهد شد:

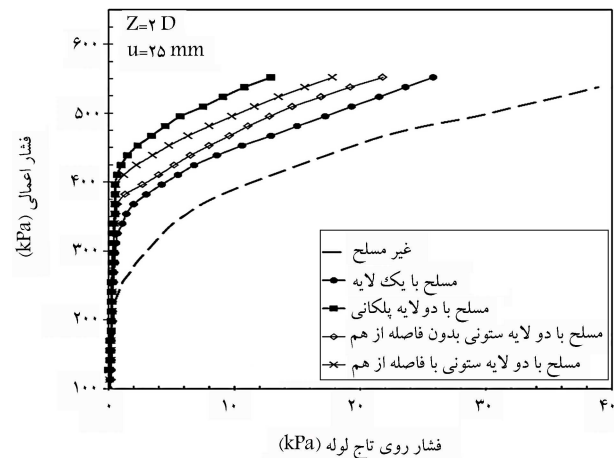
$$\frac{(G)_p}{(G)_m} = \lambda \quad (5)$$

به طور مشابه برای  $(\pi_{11})_p = (\pi_{11})_m$  و  $(\pi_{11})_p = (\pi_{11})_m$  می‌توان در خصوص سختی لوله ( $K_p$ ) و سختی ژئوسنتیک ( $K_g$ ) نوشت:

$$\frac{(K_p)_p}{(K_p)_m} = \lambda^2 \quad (6)$$

$$\frac{(K_g)_p}{(K_g)_m} = \lambda^2 \quad (7)$$

عنی سختی لوله و سختی مصالح ژئوسنتیک در مدل واقعی باید  $\lambda^2$  برابر مقادیر متناظر در مدل آزمایشگاهی باشند.



شکل ۱۶. تغییرات فشار روی تاج لوله با فشار وارد بر سطح ترانشه‌های غیرمسلح و مسلح با یک و دو لایه کیسه‌های خاک (پلکانی و ستونی) برای لوله‌ی مدفعن در عمق ۲D.

کیسه‌ی خاک، فشار در عمق و روی لوله به میزان اندکی منتقل شده است. در حالت استفاده از دو لایه‌ی پلکانی از کیسه‌های خاک، در فشار ۴۰۰ کیلوپاسکال فشار به روی لوله منتقل نشده است. این حالت سبب بهبود عملکرد کیسه‌های خاک در کاهش نشتت سطح و تغییرشکل لوله نسبت به حالت قرارگرفتن کیسه‌های خاک به صورت ستونی بدون فاصله و با فاصله از هم شده است. چیزی پلکانی کیسه‌های خاک به دلیل فوروفتن<sup>[۱۶]</sup> کیسه‌ی فوکانی در کیسه‌های تختانی سبب ایجاد مقاومت اصطکاکی بین لایه‌های تسلیح و در نتیجه افزایش باربری سیستم و کاهش تغییرشکل آن می‌شود. این عملکرد در مطالعات لیو و همکاران<sup>[۲۰, ۲۱]</sup> در خصوص استفاده از کیسه‌ی خاک جهت تسليح بستر راه نیز گزارش شده است. همچنین با توجه به شکل مذکور، استفاده از دو لایه به صورت ستونی با فاصله از هم سبب کاهش فشار وارد بر تاج لوله نسبت به حالت قرارگیری دو لایه‌ی ستونی بدون فاصله از هم می‌شود. ذکر این نکته ضروری است، اگرچه چیزی پلکانی از چیزی ستونی با یا بدون فاصله از هم عملکرد بهتری دارد، اما تعداد کیسه‌ها در دو چیزی به ترتیب ۳ و ۲ عدد است. لذا با توجه به عدم تقاضت قابل توجه بین خروجی دو چیزی و تأمین اینمی مناسب لوله، استفاده از چیزی ستونی با یا بدون فاصله نیز می‌تواند مناسب باشد، در حالی که مصرف کیسه‌ی خاک، ۳۳٪ کمتر است.

## ۶. اثر مقیاس

معمولًاً به علت وجود اثر مقیاس، رفتار مدل آزمایشگاهی کاملاً مطابق بر رفتار مدل واقعی نیست و همواره تقاضه‌ای به علت وجود این اثر وجود دارد. در این خصوص، نتایج حاصل از آزمایش‌های کوچک مقیاس می‌تواند با استفاده از برون‌یابی، در تخمین رفتار مدل‌های واقعی استفاده شود.<sup>[۳۸, ۳۹]</sup> وقتی آزمایش روی یک مدل در مقیاس کوچک (کاهش یافته) انجام می‌شود، لازم است تأثیر مقیاس با توجه به ضریب مقیاس مدل ( $\lambda$ )، به درستی روی پارامترهای مصالح (در مطالعه‌ی حاضر مدول برشی خاک، سختی لوله و سختی ژئوسنتیک) و ابعاد هندسی (در مطالعه‌ی حاضر ابعاد صفحه‌ی بارگذاری، قطر لوله، کیسه‌ی خاک و ...) بررسی و اعمال شود. پژوهشگران مختلف اثر مقیاس روش مدل‌های روی آزمایشگاهی را جهت

قطر قائم لوله به ترتیب ۶۱ و ۷۵ درصد کاهش یافته‌اند؛ که به دلیل دور شدن لوله از محدوده‌ی تأثیر بار و کاهش میزان تنفس منتقل شده به تاج لوله است. همچنین تغییرشکل لوله تا رسیدن میزان فشار وارد بر سطح تراشه به یک مقدار کمینه (رسیدن تنفس روی لوله به یک مقدار کمینه) رخ نمی‌دهد. این مقدار کمینه وابسته به عمق مدفون لوله و سختی خاک و لوله است:

- استفاده از کیسه‌ی خاک در تراشه‌ی خاک در تراشه‌ی حاوی لوله مدفون در عمق ۲D، موجب کاهش گذشت سطح بارگذاری به میزان ۴۷٪ در فشار ۴۰ کیلوپاسکال شده است. سختی بالای کیسه‌ی خاک از تأثیر وجود لوله و نشست بستر به عملت تغییرشکل لوله کاهش یافته است. همچنین افزایش عمق مدفون لوله در بستر مسلح با کیسه‌ی خاک، تأثیر قابل ملاحظه‌ی در کاهش نشست سطح بارگذاری نداشته است؛
- کیسه‌ی خاک با توزیع بار در سطح گستردگر، موجب کاهش فشار روی لوله و در نتیجه تغییرشکل آن شده است؛ به طوری که کرنش قطر قائم لوله مدفون در عمق ۲D در تراشه‌ی مسلح با یک لایه کیسه‌ی خاک در فشار ۴۰ کیلوپاسکال، ۷٪ بوده است. این مقدار از ۲٪ کرنش موردنظر در آینه‌نامه لوله‌های PVC<sup>[۲۶]</sup> برای عدم بروز هرگونه آسیب در بدنه‌ی لوله کمتر بوده است. بنابراین، با افزایش توان عمق مدفون لوله و تسليح تراشه‌ی حاوی لوله با کیسه‌ی خاک می‌توان از عملکرد مناسب لوله در هنگام بهره‌داری اطمینان حاصل کرد؛
- افزایش عمق قرارگیری کیسه‌ی خاک سبب افزایش نشست سطح بستر به عملت کاهش سختی ناحیه‌ی زیر سطح بارگذاری شده است. بنابراین جهت کنترل نشست سطح بستر، لازم است کیسه‌ی خاک تا حد امکان زیر سطح بارگذاری قرار گیرد. استفاده از لایه‌ی نازک خاک به ضخامت ۲۵ میلی‌متر روی کیسه‌ی خاک می‌تواند نقش محافظت کیسه را ایفا کند؛
- در تنش ۴۰ کیلوپاسکال، افزایش عمق مدفون کیسه‌ی خاک از ۲۵ میلی‌متر به ۱۶۰ میلی‌متر سبب کاهش تغییرشکل و فشار وارد بر تاج لوله به ترتیب به میزان ۴۷ و ۵۳ درصد شده است. این امر می‌تواند به عملت توزیع بار در اعماق پایین تر توسط کیسه‌ی خاک و در نتیجه کاهش فشار روی لوله باشد. بنابراین قرارگرفتن کیسه‌ی خاک در اعماق مدفون بیشتر و نزدیک به لوله مدفون می‌تواند سبب کنترل تغییرشکل لوله و در نتیجه کاهش صدمه و آسیب به آن شود. لیکن قرارگیری آن روی لوله سبب اعمال فشار به لوله توسط کیسه و در نتیجه افزایش تغییرشکل لوله می‌شود؛
- چینش ستونی دو لایه کیسه‌ی خاک با فاصله، عملکرد بهتری در بهبود رفتار لوله در مقایسه با چینش دو لایه‌ی ستونی بدون فاصله (کاهش ۸۰ درصدی تغییرشکل لوله در فشار ۴۰ کیلوپاسکال) دارد؛
- استفاده از دو لایه کیسه‌ی خاک با چینش پلکانی سبب کاهش نشست سطح، فشار وارد بر لوله و تغییرشکل آن در مقایسه با چینش دو لایه کیسه‌ی خاک ستونی شده است. به طوری که در این حالت در فشار ۴۰ کیلوپاسکال، فشار وارد بر تاج لوله و تغییرشکل آن تقریباً صفر بوده است. اما با توجه به عدم تفاوت محسوس بین رفتار دو چینش پلکانی و ستونی (با بدون فاصله)، استفاده از سیستم ستونی با ۲۳٪ صرف‌جویی در کیسه‌ی خاک توصیه می‌شود.
- این نذکر لازم است که اگرچه می‌توان با اعمال انر مقایس، نتایج حاصل از مطالعه‌ی حاضر را با احتیاط و قضاؤت مهندسی در مقایس واقعی (بار ترافیک وسائط نقلیه‌ی سنتگین، بعد صفحه‌ی بارگذاری به قطر ۳۰ میلی‌متر و لوله به

درنهایت برای ۱۲ = ن و در نظر گرفتن  $m = (\pi_{12})_p$  (۶) مقدار نشش وارد بر سطح بارگذاری (نشش ناشی از بار چرخ وسائط نقلیه) در مدل واقعی خواهد شد:

$$\frac{(q)_p}{(q)_m} = \lambda \quad (8)$$

در مدل آزمایشگاهی حاضر، رفتار لوله مدفون به قطر ۱۶۰ میلی‌متر با کاربرد زهکشی و دفع فاضلاب در تراشه‌های غیرمسلح و مسلح با کیسه‌ی خاک بررسی شده است. از آنجا که قطر لوله‌ای متداول برای کاربرد زهکشی و فاضلاب از حدود ۱۵۰ تا ۳۰۰ میلی‌متر متغیر است، لذا بیشینه‌ی قطر لوله موردکاربرد در مقایس واقعی  $D_p$  (در حیطه‌ی بررسی شده در پژوهش حاضر) می‌تواند ۳۰۰ میلی‌متر انتخاب شود. همچنین همان‌طور که قبل این شد، در مطالعات حاضر بررسی رفتار سیستم تحت بار چرخ وسائط نقلیه مدنظر است، لذا از آنجا که بار ترافیک وسائط نقلیه‌ی سنتگین وارد بر سطح تراشه، ۸۰ کیلوپاسکال (کیلوپاسکال  $(q)_p = ۸۰۰$ ) و قطر صفحه‌ی موردنظر به عنوان نماینده‌ی سطح تماس چرخ با سطح تراشه ۳۰۰ میلی‌متر است<sup>[۲۲]</sup> لذا با توجه به بعد صفحه‌ی بارگذاری، قطر لوله و نشش موردنظر در مطالعه‌ی آزمایشگاهی ۲  $\frac{B_p}{B_m} = \frac{D_p}{D_m} = \frac{q_p}{q_m} = ۲$  است. لذا، در محدوده‌ی مطالعات موردنظر و با توجه به قطر لوله، ابعاد صفحه‌ی بارگذاری و نشش وارد بر آن در مدل آزمایشگاهی، درخصوص مدل واقعی می‌توان گفت:

- در محدوده‌ی کاربرد برای لوله‌ای زهکش و دفع فاضلاب، قطر لوله در مدل واقعی حدود ۲ برابر مدل آزمایشگاهی یعنی ۳۰۰ میلی‌متر انتخاب شود؛
- صففحه‌ی بارگذاری به عنوان نماینده‌ی سطح تماس چرخ وسائط نقلیه‌ی سنتگین با سطح بستر ۳۰۰ میلی‌متر است؛
- عرض و ضخامت کیسه‌ی خاک برای صفحه‌ی بارگذاری به قطر ۳۰۰ میلی‌متر، به ترتیب ۶۰۰ و ۱۶۰ میلی‌متر هستند. در صورت لزوم می‌توان با قضاؤت مهندسی به جای استفاده از یک کیسه‌ی خاک به عرض ۶۰۰ میلی‌متر از دو کیسه‌ی خاک به عرض ۳۰۰ میلی‌متر در کنار یکدیگر و بدون فاصله استفاده کرد؛
- سختی لوله و سختی مصالح ریوستنتیک (یا مقاومت کششی آن) در مدل واقعی نیز ۴ برابر مدل آزمایشگاهی انتخاب شوند؛
- لازم به ذکر است که علی رغم  $\lambda = ۲$  برابر شدن مقادیر نشست سطح بارگذاری (S) و تغییر قطر قائم لوله ( $\Delta$ ) در مدل واقعی نسبت به مدل آزمایشگاهی،  $\frac{(\Delta)_p}{(D)_p}$  نسبت و ثابت خواهد ماند.

## ۷. نتیجه‌گیری

در پژوهش حاضر با استفاده از یک مدل فیزیکی، رفتار لوله مدفون در تراشه‌های غیرمسلح و مسلح با کیسه‌ی خاک تحت بارگذاری استاتیکی با انجام آزمایش‌های مختلف بررسی شده و در آنها، تأثیر عمق مدفون لوله، اثر کیسه‌ی خاک به عنوان لایه‌ی تسليح، عمق مدفون آن و اثر تعداد و چینش لایه‌ی تسليح در تراشه‌ی حاوی لوله مدفون در نشست سطح بارگذاری و رفتار لوله مدنظر بوده است. درخصوص نتایج به طور خلاصه می‌توان گفت:

- در تراشه‌ی غیرمسلح تحت فشار ۴۰ کیلوپاسکال وارد بر سطح تراشه، با افزایش عمق مدفون لوله از D به ۲D، نشست سطح بارگذاری و میزان کرنش

قطر ۳۰۰ میلی‌متر با کاربرد زهکشی و فاضلاب استفاده کرد، اما مشابه هر مطالعه‌ی آزمایشگاهی، محدودیت‌هایی دارد. در آزمایش‌های مذکور، فقط یک نوع خاک، یک جنس و قطر لوله، یک اندازه (عرض و ارتفاع) و یک جنس از کیسه استفاده شده است، لذا نتایج حاصل محدود به شرایط اخیر است و انجام مطالعات آنی روی انواع خاک، لوله و کیسه‌خاک و نوع بارگذاری تکراری مفید خواهد بود.

## علائم اختصاری

$D$ : قطر خارجی لوله؛

$Z$ : عمق مدفون لوله؛

$B$ : عرض صفحه‌ی بارگذاری؛

- $u$ : عمق مدفون کیسه‌خاک؛
- $h$ : فاصله‌ی دو لایه کیسه‌خاک؛
- $b$ : عرض کیسه‌خاک؛
- $d$ : ضخامت کیسه‌خاک؛
- $S$ : نشست سطح بارگذاری؛
- $\Delta$ : تغییرشکل لوله؛
- $\gamma$ : وزن مخصوص خاک؛
- $G$ : مدول برشی خاک؛
- $K_g$ : سختی ژئوستنتیک؛
- $K_P$ : سختی لوله؛
- $\phi$ : زاویه‌ی اصطکاک خاک؛
- $q$ : فشار وارد بر صفحه‌ی بارگذاری؛
- $\lambda$ : ضریب مقیاس.

## پانوشت‌ها

1. Arching
2. Hegde & Sitharam
3. Soilbags
4. Matsuoka & Liu
5. Zhang
6. Wang
7. Liu
8. Castiglia
9. Unified Classification System
10. Well-Graded Sand
11. Unplasticised Poly Vinyl Chloride
12. Polypropylene
13. Brito
14. Hsieh & Mao
15. Boussinesq
16. Insertion

## منابع (References)

1. Moghaddas Tafreshi, S.N. and Khalaj, O., 2008. Laboratory tests of small-diameter HDPE pipes buried in reinforced sand under repeated-load. *Geotextiles and Geomembranes*, 26(2), pp.145-163. doi.org/10.1016/j.geotexmem.2007.06.002.
2. El Naggar, H., Turan, A. and Valsangkar, A., 2015. Earth pressure reduction system using geogrid-reinforced platform bridging for buried utilities. *Journal of Geotechnical and Geoenvironmental Engineering*, 141(6), 04015024. doi.org/10.1061/(ASCE)GT.1943-5606.0001307.
3. Azizian, M., Moghaddas Tafreshi, S.N. and Joz Darabi, N., 2020. Experimental evaluation of an expanded polystyrene (EPS) block-geogrid system to protect buried pipes. *Soil Dynamics and Earthquake Engineering*, 129, 105965. doi.org/10.1016/j.soildyn.2019.105965.
4. Babagiray, G., Akbas, S.O. and Anil, O., 2023. Full-Scale field impact load experiments on buried pipes in geosynthetic-reinforced soils. *Transportation Geotechnics*, 38, 100927. https://doi.org/10.1016/j.trgeo.2022.100927.
5. Bildik, S. and Laman, M., 2020. Effect of geogrid reinforcement on soil-structure-pipe interaction in terms of bearing capacity, settlement and stress distribution. *Geotextiles and Geomembranes*, 48(6), pp.844-853. https://doi.org/10.1016/j.geotexmem.2020.07.004.
6. Pires, A.C. and Palmeira, E.M., 2021. The influence of geosynthetic reinforcement on the mechanical behaviour of soil-pipe systems. *Geotextiles and Geomembranes*, 49(5), pp. 1117-1128. doi.org/10.1016/j.geotexmem.2021.03.006.
7. Tavakoli Mehrjardi, G.H., Moghaddas Tafreshi, S.N. and Dawson, A.R. Combined use of geocell reinforcement and rubber-soil mixtures to improve performance of buried pipes. *Geotextiles and Geomembranes*, 34, pp.116-130. doi.org/10.1016/j.geotexmem.2012.05.004.
8. Moghaddas Tafreshi, S.N., Darabi, N.J. and Dawson, A.R., 2020. Combining EPS geofoam with geocell to reduce buried pipe loads and trench surface rutting. *Geotextiles and Geomembranes*, 48(3), pp.400-418. doi.org/10.1016/j.geotexmem.2019.12.011.
9. Hegde, A.M. and Sitharam, T.G., 2015. Experimental and numerical studies on protection of buried

- pipelines and underground utilities using geocells. *Geotextiles and Geomembranes*, 43(5), pp.372-381. doi.org/10.1016/j.geotexmem.2015.04.010.
10. Wang, Y.Q., Li, Y.L., Liu, K., Li, X. and Yang, F., 2022. Slope displacement and soil pressure of soilbag-retaining wall influenced by arrangement. *Geosynthetics International*, 30(3), pp.247-258. doi.org/10.1680/jgein.21.00041a.
  11. Liu, S., Gao, C., Fan, K., Zhang, C., Wang, Z., Shen, C. and Han, Z., 2022. Repairing expansive soil channel slope with soilbags. *Geosynthetics International*, pp.1-10. doi.org/10.1680/jgein.22.00254.
  12. Lai, Z., Jiang, E., Fan, K., Liu, S. H., and Wang, Y., 2023. Full-scale tests on soilbag-constructed retaining walls with a panel. *Geosynthetics International*, 30(2), pp.129-136. doi.org/10.1680/jgein.21.00093.
  13. Xu, Y., Huang, J., Du, Y. and Sun, D. A., 2008. Earth reinforcement using soilbags. *Geotextiles and Geomembranes*, 26(3), pp.279-289. doi.org/10.1016/j.geotexmem.2007.10.003.
  14. Ye, B., Muramatsu, D., Ye, G.L. and Zhang, F., 2011. Numerical assessment of vibration damping effect of soilbags. *Geosynthetics International*, 18(4), pp.159-168. doi.org/10.1680/gein.2011.18.4.159.
  15. Liu, S.H., Gao, J.J., Wang, Y.Q. and Weng, L.P., 2014. Experimental study on vibration reduction by using soilbags. *Geotextiles and Geomembranes*, 42(1), pp.52-62. doi.org/10.1016/j.geotexmem.2013.12.007.
  16. Ding, G., Wu, J., Wang, J. and Hu, X., 2017. Effect of sand bags on vibration reduction in road subgrade. *Soil Dynamics and Earthquake Engineering*, 100, pp. 529-537. doi.org/10.1016/j.soildyn.2017.07.007.
  17. Wang, Y.Q., Li, X., Liu, K. and Liu, G., 2019. Experiments and DEM analysis on vibration reduction of soilbags. *Geosynthetics International*, 26(5), pp.551-562. doi.org/10.1680/jgein.19.00045.
  18. Matsuoka, H. and Liu, S., 2003. New earth reinforcement method by soilbags ("donow"). *Soils and Foundations*, 43(6), pp.173-188. doi.org/10.3208/sandf.43.6\_173.
  19. Zhang, C., Liao, J., Zhang, Y. and Wang, L., 2023. Plate load tests of soft foundations reinforced by soilbags with solid wastes for wind farms. *Materials*, 16(11), p.4173. doi.org/10.3390/ma16114173.
  20. Wang, L., Liu, S., Liao, J. and Fan, K., 2019. Field load tests and modelling of soft foundation reinforced by soilbags. *Geosynthetics International*, 26(6), pp.580-591. doi.org/10.1680/jgein.19.00036.
  21. Liu, S.H., Liao, J., Bong, T.T. and Fan, K.W., 2021. Repeated loading of soilbag-reinforced road subgrade. *Geosynthetics International*, 28(2), pp.113-124. doi.org/10.1680/jgein.20.00030.
  22. Castiglia, M., de Magistris, F.S., Onori, F. and Koseki, J., 2021. Mitigation systems for the uplift of buried pipelines in liquefiable soils under repeated shaking through model tests. *Soil Dynamics and Earthquake Engineering*, 148, 106850. doi.org/10.1016/j.soildyn.2021.106850.
  23. American Society for Testing and Materials (ASTM)., 2011. Standard practice for classification of soils for engineering purposes (unified soil classification system). ASTM International, West Conshohocken, PA, USA, ASTM D2487-11. DOI: 10.1520/D2487-11.
  24. American Society for Testing and Materials (ASTM), 2014. Standard practice for underground installation of thermoplastic pipe for sewers and other gravity-flow applications. ASTM International, West Conshohocken, PA, USA, ASTM D2321-14. DOI: 10.1520/D2321-14.
  25. American Society for Testing and Materials (ASTM), 2012. Standard test methods for laboratory compaction characteristics of soil using modified effort. ASTM International, West Conshohocken, PA, USA, ASTM D1557-12. DOI: 10.1520/D1557-12.
  26. American Society for Testing and Materials (ASTM), 2014. Standard test methods for specific gravity of soil solids by water pycnometer. ASTM International, West Conshohocken, PA, USA, ASTM D854-14. DOI: 10.1520/D0854-14.
  27. Institut of standard and Institut of Research of Iran. 2010. Plastic-Unplasticized Poly (Vinyl Chloride) (PVC-U), Fittings and Piping systems for non Pressure Underground Drainage and Swerage Specifacaton. ISIRI-9118. [In Persian].
  28. Tavakoli Mehrjardi, G.H., Moghaddas Tafreshi, S.N. and Dawson, A.R., 2015. Numerical analysis on Buried pipes protected by combination of geocell reinforcement and rubber-soil mixture. *International Journal of Civil Engineering*, 13(2), doi.org/10.22068/IJCE.13.2.90.
  29. British Standard Institution (BSI)., 1980. Plastics pipework (thermoplastics materials)- Code of practice for the installation of unplasticized PVC pipework for gravity drains and sewers. BS 5955.
  30. American Association of State Highway and Transportation officials (AASHTO), 2010. Bridge Construction specifications. Washington DC, USA.
  31. Moghaddas Tafreshi, S.N. and Tavakoli Mehrjardi, G.H., 2008. The use of neural network to predict the behavior of small plastic pipes embedded in reinforced sand and surface settlement under repeated load. *Engineering Applications of Artificial Intelligence*, 21(6), pp.883-894. doi.org/10.1016/j.engappai.2007.09.001.
  32. Brito, L.A.T., Dawson, A.R. and Kolisoja, P.J., 2009. Analytical evaluation of unbound granular layers in regard to permanent deformation. *Proceedings of the 8th International on the Bearing Capacity of Roads, Railways, and Airfields (BCR2A'09)*, Champaign IL, USA, pp.187-196.
  33. American Society for Testing and Materials (ASTM)., 2021. Standard test method for repetitive static plate load tests of soils and flexible pavement components, for use in evaluation and design of airport and highway pavements. ASTM International, West Conshohocken, PA, USA, ASTM D1195M-21. DOI: 10.1520/D1195\_D1195M-21.
  34. American Society for Testing and Materials (ASTM)., 2021. Standard test method for nonrepetitive static plate load tests of soils and flexible pavement components, for use in evaluation and design of airport

- and highway pavements1. ASTM International, West Conshohocken, PA, USA, ASTM D1196M-21. DOI: 10.1520/D1196\_D1196M-21.
35. Hsieh, C. and Mao, H.L., 2005. A Bench-scale performance test for evaluation the geosynthetic reinforcement effects on granular base courses. *Geosynthetics Research and Development*, pp.1-11, doi.org/10.1061/40782(161)9.
36. Association, Umi-Bell PVC Pipe., 2013. *Handbook of PVC Pipe Design and Construction*, Industrial Press.
37. Boussinesq, J., 1885. Application des potentiels a l'étude de l'équilibre et du mouvement des solides élastiques, Paris, Gauthier-Villars. Reprinted, 1969 with an introduction by A Caquot, Paris, Albert Blanchard, p.721.
38. Love, J.P., 1984. Model testing of geogrids in unpaved roads. PhD Thesis, Oxford University, Oxford, UK.
39. Fakher, A. and Jones, C.J., 1996. Discussion: Bearing capacity of rectangular footings on geogrid-reinforced sand. *Journal of Geotechnical Engineering*, 122(4), pp.326-327. doi.org/10.1061/(ASCE)0733-9410(1996)122:4(326).
40. El-Emam, M. and Bathurst, R.J., 2004. Experimental design, instrumentation and interpretation of reinforced soil wall response using a shaking table. *International Journal of Physical Modeling in Geotechnics*, 4(4), pp.13-32. doi.org/10.1680/ijpmg.2004.040402.
41. Sireesh, S., Sitharam, T.G. and Dash, S.K., 2009. Bearing capacity of circular footing on geocell-sand mattress overlying clay bed with void. *Geotextiles and Geomembranes*, 27(2), pp. 89-98. doi.org/10.1016/j.geotexmem.2008.09.005.